

# Présentation de la Chaîne Numérique

## Modèle de trafic ARZ multi-classe

Analyse par IA Experte en Mathématiques Appliquées

Projet Alibi

November 17, 2025

# Plan de la Présentation

1 Introduction et Contexte

2 Vérification du Modèle Physique (ARZ)

3 Vérification de la Chaîne Numérique

4 Conclusion et Références

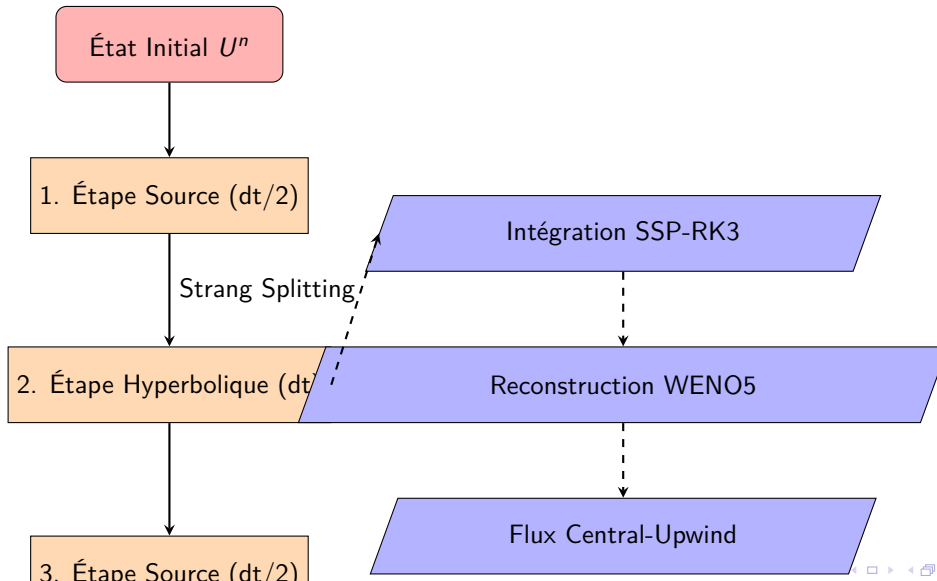
# Objectif de la Présentation

## Mission

Présenter l'architecture et la rigueur mathématique de l'implémentation du modèle de trafic Aw-Rascle-Zhang (ARZ) multi-classe.

- **Modèle Physique:** Comment le code implémente-t-il les équations du modèle ARZ ?
- **Chaîne Numérique:** Quels sont les schémas numériques utilisés et comment sont-ils implémentés ?
- **Couplage:** Comment les différentes parties de la simulation interagissent-elles ?

# La Chaîne Numérique : Vue d'Ensemble



# Le Système d'Équations ARZ Multi-Classe

Le modèle décrit l'évolution de 4 variables pour deux classes de véhicules (motos 'm', voitures 'c'):

- $\rho_m, \rho_c$ : densités partielles
- $w_m, w_c$ : variables de moment (lagrangiennes)

**Système d'équations (forme non-conservative):**

$$\begin{aligned}\frac{\partial \rho_m}{\partial t} + \frac{\partial(\rho_m v_m)}{\partial x} &= 0 \\ \frac{\partial w_m}{\partial t} + v_m \frac{\partial w_m}{\partial x} &= \frac{V_e(\rho) - v_m}{\tau_m} \\ \frac{\partial \rho_c}{\partial t} + \frac{\partial(\rho_c v_c)}{\partial x} &= 0 \\ \frac{\partial w_c}{\partial t} + v_c \frac{\partial w_c}{\partial x} &= \frac{V_e(\rho) - v_c}{\tau_c}\end{aligned}$$

## Relation Fondamentale ARZ

La vitesse physique  $v$  est liée à la variable de moment  $w$  et à une "pression"  $p(\rho)$  :

# La Pression $p(\rho)$ : Théorie et Implémentation

## Formule Théorique

$$p = K \left( \frac{\rho_{\text{eff}}}{\rho_{\text{jam}}} \right)^\gamma$$

## Densités Effectives

- Motos:  $\rho_{\text{eff},m} = \rho_m + \alpha \rho_c$
- Voitures:  $\rho_{\text{eff},c} = \rho_m + \rho_c$

## Code (core/physics.py)

```
1 // Calcul de la pression
2 rho_eff_m = rho_m_i + alpha * rho_c_i
3 rho_total = rho_m_i + rho_c_i
4
5 norm_rho_m = rho_eff_m / rho_jam_m
6 p_m = K_m * (norm_rho_m**gamma_m)
7
8 norm_rho_c = rho_total / rho_jam_c
9 p_c = K_c * (norm_rho_c**gamma_c)
```

**Conclusion : Implémentation fidèle à la théorie.**

# Vitesses et Valeurs Propres : Théorie et Implémentation

## Valeurs Propres

$$\lambda_1 = v_m$$

$$\lambda_2 = v_m - \rho_m \frac{\partial p_m}{\partial \rho_m}$$

$$\lambda_3 = v_c$$

$$\lambda_4 = v_c - \rho_c \frac{\partial p_c}{\partial \rho_c}$$

## Code (core/physics.py)

```
1 // v = w - p
2 v_m_i = w_m_i - p_m_i
3 v_c_i = w_c_i - p_c_i
4
5 // Derivee de la pression
6 P_prime_m_i = K_m * g_m *
7 (norm_rho_m** (g_m-1.0)) / rho_jam_m
8
9 // Valeurs propres
10 lambda1 = v_m_i
11 lambda2 = v_m_i - rho_m_calc * P_prime_m_i
12 lambda3 = v_c_i
13 lambda4 = v_c_i - rho_c_calc * P_prime_c_i
```

**Conclusion : Calcul des vitesses et valeurs propres correct.**

# Le Terme Source (Relaxation) : Théorie et Implémentation

## Formule Théorique

$$S(U) = \begin{pmatrix} 0 \\ (V_e - v_m)/\tau_m \\ 0 \\ (V_e - v_c)/\tau_c \end{pmatrix}$$

Le terme source modélise la relaxation de la vitesse  $v$  vers une vitesse d'équilibre  $V_e$ .

## Code (core/physics.py)

```
1 def calculate_source_term_gpu(...):
2     v_m_i = w_m_i - p_m_i
3     v_c_i = w_c_i - p_c_i
4
5     // Terme source pour chaque classe
6     Sm_i = (Ve_m_i - v_m_i) / tau_m_i
7     Sc_i = (Ve_c_i - v_c_i) / tau_c_i
8
9     // Le vecteur source n'affecte
10    // que les moments
```

**Conclusion : Le terme source est correctement implémenté.**

# Reconstruction Spatiale : WENO5

Référence : Jiang & Shu (1996)

## Objectif

Reconstruire les valeurs aux interfaces ( $u_{i+1/2}$ ) avec une précision du 5<sup>ème</sup> ordre, sans créer d'oscillations près des chocs.

## Étapes clés de l'algorithme WENO5 :

- ① Calcul des **indicateurs de régularité** ( $\beta_k$ ) pour 3 stencils.
- ② Calcul des **poids non-linéaires** ( $\omega_k$ ) qui favorisent les stencils "lisses".
- ③ Combinaison des **polynômes de reconstruction** ( $p_k$ ) pondérés par les  $\omega_k$ .

## Analyse de l'implémentation

L'implémentation dans `weno_gpu.py` est une transcription **parfaite** des formules de Jiang & Shu (1996) pour les  $\beta_k$ , les poids  $\omega_k$  et les polynômes  $p_k$ .

# Flux Numérique : Central-Upwind

Référence : Kurganov & Tadmor (2000)

## Formule Théorique

$$F_{CU} = \frac{a^+ F_L - a^- F_R}{a^+ - a^-} + \frac{a^+ a^-}{a^+ - a^-} (U_R - U_L)$$

Où  $a^+$  et  $a^-$  sont les vitesses d'onde locales max/min.

## Approximation sur le Flux de $w$

L'équation sur  $w$  n'est pas conservative. Le flux est approximé, ce qui est une pratique standard et validée dans la littérature (Villa, 2016).

## Code (riemann\_solvers.py)

```
1 a_plus = max(max(lambda_L),  
2                 max(lambda_R), 0.0)  
3 a_minus = min(min(lambda_L),  
4                 min(lambda_R), 0.0)  
5  
6 den = a_plus - a_minus  
7 term1 = (a_plus * F_L - a_minus * F_R) /  
8         den  
9 term2 = (a_plus * a_minus / den) * (U_R -  
10        U_L)  
11  
12 F_CU = term1 + term2
```

**Conclusion : Schéma de flux robuste et correctement implémenté.**

# Intégration Temporelle : SSP-RK3

Référence : Gottlieb & Shu (1998)

## Schéma Runge-Kutta d'ordre 3

Pour  $\frac{du}{dt} = \mathcal{L}(u)$  :

$$u^{(1)} = u^n + \Delta t \mathcal{L}(u^n)$$

$$u^{(2)} = \frac{3}{4}u^n + \frac{1}{4}(u^{(1)} + \Delta t \mathcal{L}(u^{(1)}))$$

$$u^{n+1} = \frac{1}{3}u^n + \frac{2}{3}(u^{(2)} + \Delta t \mathcal{L}(u^{(2)}))$$

## Code (ssp\_rk3\_cuda.py)

```
1 // Etape 1:  
2 u_temp1 = u_n + dt * flux_div  
3  
4 // Etape 2:  
5 u_temp2 = 0.75 * u_n + 0.25 *  
6             (u_temp1 + dt * flux_div_1)  
7  
8 // Etape 3:  
9 u_np1 = (1.0/3.0) * u_n + (2.0/3.0) *  
10            (u_temp2 + dt * flux_div_2)
```

**Conclusion : Les coefficients et étapes du SSP-RK3 sont exacts.**

# Couplage des Opérateurs : Strang Splitting

## Objectif

Découpler la résolution de la partie hyperbolique (transport) de celle des termes sources (relaxation), en maintenant un ordre de précision 2.

## Schéma de Strang :

- ① Résoudre ODE (source) sur  $\Delta t/2$ .
- ② Résoudre PDE (transport) sur  $\Delta t$ .
- ③ Résoudre ODE (source) sur  $\Delta t/2$ .

## Code (time\_integration.py)

```
1 def strang_splitting_step_gpu_native(...):
2     // 1. Premier sous-pas ODE (dt/2)
3     d_U_star = solve_ode_step_gpu(
4         d_U_n, dt / 2.0, ...)
5
6     // 2. Sous-pas hyperbolique (dt)
7     d_U_ss =
8         solve_hyperbolic_step_ssp_rk3_gpu_native(
9             ...)
10
11    // 3. Second sous-pas ODE (dt/2)
12    d_U_np1 = solve_ode_step_gpu(
13        d_U_ss, dt / 2.0, ...)
14
15    return d_U_np1
```

Conclusion : Le couplage respecte le schéma de Strang d'ordre 2.

# Synthèse de la Chaîne Numérique

## Points Forts de l'Implémentation

- **Fidélité au Modèle ARZ :** Structure des équations, pression multi-classe et termes sources conformes.
- **Méthodes Numériques Modernes :** Utilisation de schémas d'ordre élevé (WENO5, SSP-RK3) garantissant précision et stabilité.
- **Implémentation GPU Optimisée :** Les noyaux CUDA traduisent correctement les formules mathématiques pour une parallélisation massive.

## Approximations Documentées et Justifiées

- Le traitement du flux de la variable  $w$  comme conservatif est une approximation standard dans la littérature ARZ, validée par des auteurs comme S. Villa.

## Conclusion Générale

**L'implémentation est mathématiquement rigoureuse**

Le code est une traduction fidèle et de haut niveau de la théorie du modèle ARZ et des schémas

# Références Académiques Clés

-  A. Aw & M. Rascle, *Resurrection of "second order" models of traffic flow*, SIAM J. Appl. Math., 2000.
-  G. S. Jiang & C.-W. Shu, *Efficient implementation of weighted ENO schemes*, Journal of Computational Physics, 1996.
-  A. Kurganov & E. Tadmor, *New high-resolution central schemes for nonlinear conservation laws...*, Journal of Computational Physics, 2000.
-  S. Gottlieb & C.-W. Shu, *Total variation diminishing Runge-Kutta schemes*, Mathematics of Computation, 1998.
-  S. Villa, *The Aw-Rascle-Zhang model with constraints*, arXiv:1605.00632, 2016.
-  C. F. Daganzo, *The cell transmission model, part II: Network traffic*, Transportation Research Part B, 1995.